

ГЭАП

Коррежа № 3.

Отчет

Занятия с детьми

Презентации

Заявление К.Ф.Н.
Заявление К.Ф.Н.
Заявление

ХФ
28.03.2018
подпись, дата.

Холмогоров А.Н.
инициалы, фамилия

Отчет о методической работе № 5.

Исследование интереса фирмента
интересов

по кресту: физичес.

Работы в области

Судебный № 3012к

28.03.18
подпись, дата

Евдокимов В.В.
инициалы, фамилия

Самые интересные 2018

Πρωτόκολλο

Ραδιογραφική εργασία №5

vk.com/id446425943

Μετρώμενη ακτινική φέρουσας
υλικών.

vk.com/club152685050

Συγγραφέας κ. 3612κ

Προετοιμασία

Εισαγωγή Β.Β.

Χρησιμοποιώ Α.Η.

Παραμετρικά στοιχεία.

28.02.2018

Παράμ.	Τύπος	Κύρια σημεία	Περιοχή εξέλιξης	Μέτρο δύναμης	Συντελεστής παραμόρφωσης
Τελεστής	Τ3-118	-	100 κΓ	10 Γ	30 Γ
Οργανισμός	ΟΕΥ-108		25 Β	0,5 Β/δευ	21

Αποτελέσματα εξετάσεων.

№ πείρας	Χ, mm	Υ, mm
1	0	0
2	10	0,9
3	20	1,7
4	30	2,4
5	40	2,6

Цель работы.

Построить основного кривую намагничивания, определить работу перемагничивания и коэффициент усиления.

Описание лабораторной установки.

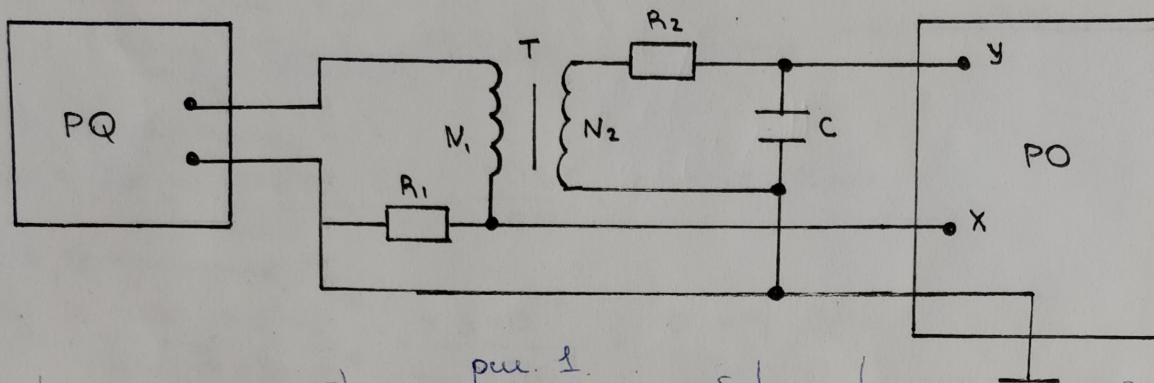


рис. 1.

На рисунке 1 изображена схема лабораторной установки, где PQ - звуковой генератор, PO - электронный осциллограф, T - тороидальный трансформатор.

$N_1 = 100$ витков;

$N_2 = 100$ витков;

$r_1 = 4,5$ мм;

$r_2 = 3$ мм;

$b = 10$ мм;

$R_1 = 51 \text{ Ом}$;

$R_2 = 4,3 \text{ кОм}$;

$C = 0,224 \text{ мкФ}$.

vk.com/id446425943

vk.com/club152685050

Результаты измерений

№ пята	$X, \text{ мм}$	$Y, \text{ мм}$
1	0	0
2	10	0,9
3	20	1,7
4	30	2,4
5	40	2,6

таблица 1

Рабочие формулы:

$$S_2 = (r_2 - r_1) b, \quad (1)$$

$$r_T = \frac{(r_1 + r_2)}{2}, \quad (2)$$

$$k_X = \frac{2\pi r_T R_1}{N_1}, \quad (3)$$

$$k_Y = \frac{N_2 S_2}{R_2 C}, \quad (4)$$

$$H = \frac{N_1 k_X X}{2\pi r_T R_1}, \quad (5)$$

$$H = \frac{100 \cdot 0,5}{2\pi \cdot 0,007 \cdot 51} \times \frac{1000}{1}$$

$$H = 23 \cdot X$$

$$B = \frac{B_2 (k_y \cdot y)}{N_2 S_2}, \quad (6).$$

$$U_x = k_x \cdot x \quad (7)$$

$$U_y = k_y \cdot y \quad (8)$$

Примеры вычислений.
По формуле 1:

$$S_2 = (9 \text{ мм} - 4,5 \text{ мм}) \cdot 10 \text{ мм} = 45 \text{ мм}^2 = 4,5 \cdot 10^{-5} \text{ м}^2$$

По формуле 2:

$$r = \frac{(4,5 \text{ мм} + 9 \text{ мм})}{2} = \frac{13,5 \text{ мм}}{2} = 6,75 \text{ мм} = 0,00675 \text{ м}.$$

По формуле 3:

$$k_x = \frac{251 \cdot 0,00675 \cdot 51}{100} = \frac{2,16}{100} = 0,0216 \text{ В/м}.$$

По формуле 4:

$$k_y = \frac{-100 \cdot 4,5 \cdot 10^{-5}}{43 \cdot 10^{-3} \cdot 2,24 \cdot 10^{-7}} = \frac{4,5 \cdot 10^{-3}}{96,32 \cdot 10^{-4}} = 0,47 \text{ В/м}.$$

По формуле 5:

$$H_2 = \frac{100 \cdot 0,0216 \cdot 10}{2 \cdot 3,14 \cdot 0,00675 \cdot 51} = \frac{2,16}{21,49} = 10 \text{ А/м}$$

$$H_1 = 0 \text{ А/м}$$

$$H_3 = 2 \text{ А/м}$$

$$H_4 = 3 \text{ А/м}$$

$$H_5 = 4 \text{ А/м}$$

По формуле 6:

$$B_2 = \frac{4300 \cdot 2,24 \cdot 10^{-7} \cdot 0,47 \cdot 0,9}{100 \cdot 4,5 \cdot 10^{-5}} = \frac{40,74 \cdot 10^{-5}}{4,5 \cdot 10^{-3}} = 9,05 \cdot 10^{-2} = 0,09 \text{ Тл}$$

$$B_1 = 0 \text{ Тл}$$

$$B_3 = 0,17 \text{ Тл}$$

$$B_4 = 0,24 \text{ Тл}$$

$$B_5 = 0,267 \text{ Тл}$$

По формулам 7 и 8 находим U_x и U_y для каждой решетки:

$$U_{x1} = 0$$

$$U_{y1} = 0$$

$$U_{x2} = 0,216$$

$$U_{y2} = 0,423$$

$$U_{x3} = 0,432$$

$$U_{y3} = 0,739$$

$$U_{x4} = 0,648$$

$$U_{x4} = 1,128$$

$$U_{x5} = 0,864$$

$$U_{y5} = 1,722$$

vk.com/id446425943

vk.com/club152685050

Все результаты занесено в таблицу 2.

№ петли	x , мм	y , мм	U_x , В	U_y , В	H , А/м	B , Тл
1	0	0	0	0	0	0
2	10	0,9	0,216	0,423	1	0,09
3	20	1,7	0,432	0,799	2	0,17
4	30	2,4	0,648	1,128	3	0,24
5	40	2,6	0,864	1,222	4	0,26

$$K_{x,y} = 0,5 \frac{B}{\text{ген.}}$$

таблица 2

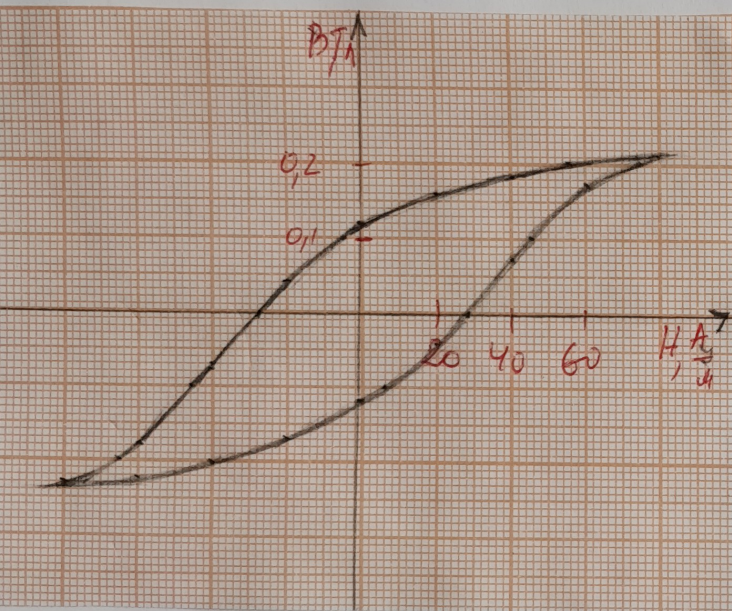


рис 1

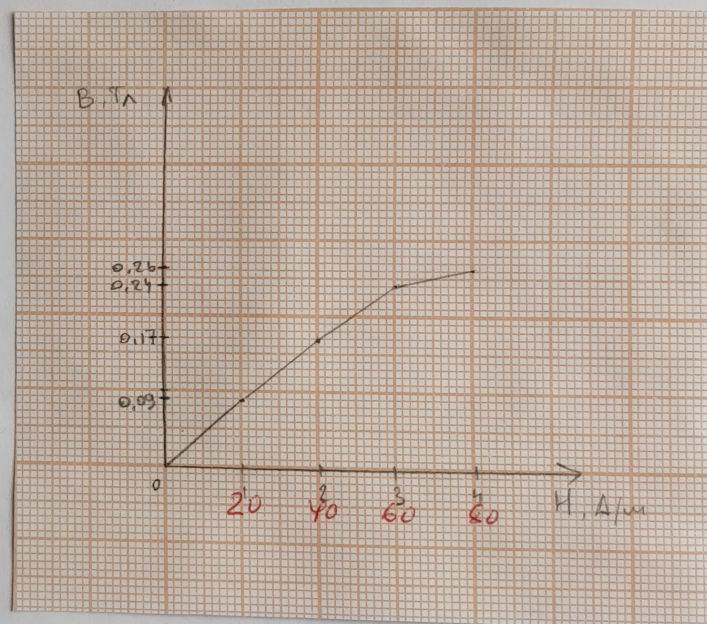


рис 2

На рисунке 1 изображена петля гистерезиса, на рисунке 2 - зависимость намагниченности от магнитной индукции.

Выводы.

В ходе лабораторной работы была определена работа перемагничивания и коэффициент усиления, а также построены основные кривые намагничивания,

$$\square \rightarrow 2 \frac{\text{Дж}}{\text{м}^3}$$

$$14 \frac{\text{Дж}}{\text{м}^3} \text{ за } 1 \text{ цикл.}$$

$$\text{за } 0,02 \text{ с.}$$

























$$700 \frac{\text{Вт}}{\text{м}^3}$$

vk.com/id446425943

vk.com/club152685050



ОТВЕТЫ --->>СКАЧАТЬ https://archive.org/details/@guap4736_vkclub152685050

Имя	
	Индивидуальное задание
	ЛР исследование гистерезиса ферромагнитных материалов
	ЛР определение горизонтальной составляющей напряженности магнитного поля зе...
	ЛР определение удельного заряда электрона
	ЛР определение емкости конденсатора
	ЛР процессы установления тока при разрядке и зарядке конденсаторов
	Методички
	тест LMS 1
	Экзамен
	Бипризма Френеля 1
	Кольца Ньютона 1
	КОНТАКТЫ
	Литвинова Надежда Николаевна
	ЛР исследование магнитного поля соленоида
	ЛР кольца Ньютона
	ЛР Проверка законов теплового излучения
	Определение горизонтальной составляющей напряженности магнитного поля земли 1
	Определение горизонтальной составляющей напряженности магнитного поля земли 2
	Определение горизонтальной составляющей напряженности магнитного поля земли 3
	Определение горизонтальной составляющей напряженности магнитного поля земли 4
	Определение периода релаксационных колебаний при помощи электронного осцил...
	Определение периода релаксационных колебаний при помощи электронного осцил...
	Определение емкости конденсатора с помощью баллистического гальваном...
	Определение емкости конденсатора с помощью баллистического гальваном...

ОТВЕТЫ -->>СКАЧАТЬ https://yadi.sk/d/PgjdK_eMGWoIJQ

ИССЛЕДОВАНИЕ ГИСТЕРЕЗИСА ФЕРРОМАГНИТНЫХ МАТЕРИАЛОВ

Цель работы: построить основную кривую намагничивания, определить работу перемагничивания и коэрцитивную силу.

Теоретические сведения

Все вещества обладают магнитными свойствами, т. е. являются *магнетиками*. Магнитные свойства веществ определяются величиной и ориентацией магнитных моментов молекул, ионов или атомов.

Магнитный момент \mathbf{p} плоского контура площадью S , по которому течет ток I , определяется по формуле

$$\mathbf{p} = IS\mathbf{n}, \quad (1)$$

где \mathbf{n} – единичная нормаль, направление которой определяется по правилу правого винта.

В магнитном поле с индукцией \mathbf{B} на замкнутый контур с током действует момент сил

$$M = |\mathbf{p} \times \mathbf{B}| = pB \sin(\mathbf{p}\hat{\mathbf{B}}), \quad (2)$$

который стремится повернуть контур так, чтобы направления векторов \mathbf{p} и \mathbf{B} совпадали.

Контур с током создает также собственное магнитное поле с индукцией \mathbf{B}_I , совпадающее по направлению с магнитным моментом \mathbf{p} контура. В устойчивом состоянии контура, когда $\mathbf{M} = 0$, вектор индукции

$$\mathbf{B}' = \mathbf{B} + \mathbf{B}_I$$

в любой точке плоскости внутри контура всегда больше вектора индукции \mathbf{B} внешнего магнитного поля. Увеличение индукции \mathbf{B} внутри контура с током в магнитном поле качественно объясняет увеличение индукции в ферромагнетике, помещенном во внешнее магнитное поле.

Намагничивание вещества объясняется наличием у составляющих его атомов, молекул, ионов микроскопических магнитных мо-

ментов: электронного орбитального \mathbf{p}_l и электронного собственного (спинового) \mathbf{p}_s .

Электронным орбитальным магнитным моментом обладает электрон, движущийся вокруг ядра атома (рис. 1). Такой электрон подобен плоской круговой рамке с током $I = ev$, имеющей магнитный момент

$$\mathbf{p}_l = I S \mathbf{n} = ev\pi r^2 \mathbf{n},$$

где e – заряд электрона; v – частота его вращения, r – радиус круговой орбиты.

Направление магнитного момента \mathbf{p}_l противоположно направлению механического момента количества движения (рис. 2)

$$\mathbf{L} = m_e \mathbf{r} \times \mathbf{V},$$

где m_e – масса электрона.

Векторы \mathbf{p}_l и \mathbf{L} связаны соотношением

$$\mathbf{p}_l = \frac{-e}{2m_e} \mathbf{L}.$$

vk.com/id446425943

vk.com/club152685050

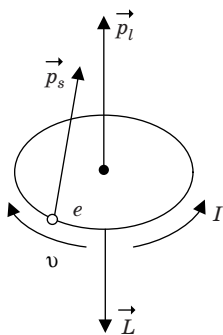


Рис. 1

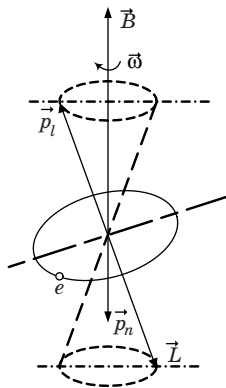


Рис. 2

Спиновый магнитный момент \mathbf{p}_s (см. рис. 1) является неотъемлемым свойством электрона. Единицей магнитного момента является магнетон Бора

$$\mu_B = \frac{e\hbar}{2m_e} = 9,27 \cdot 10^{-24} \text{ А} \cdot \text{м}^2,$$

где \hbar – постоянная Планка.

При отсутствии внешнего магнитного поля приближенно можно считать, что магнитный момент атома

$$\mathbf{p}_{at} = \sum_{i=1}^Z \mathbf{p}_{li} + \sum_{i=1}^Z \mathbf{p}_{si}, \quad (3)$$

где Z – число электронов в атоме.

Во внешнем магнитном поле на электрон атома, как на замкнутый контур с током, действует момент сил. Под действием этого момента сил электрон, подобно механическому волчку, будет совершать прецессию, при которой векторы \mathbf{p}_l и \mathbf{L} описывают с постоянной угловой скоростью ω конус вокруг направления поля \mathbf{B} (см. рис. 2). Это дополнительное движение электрона приводит к появлению у него магнитного момента прецессии \mathbf{p}_n , направленного против магнитного поля \mathbf{B} . Это явление носит название *диамагнитного эффекта*.

При наличии внешнего магнитного поля магнитный момент атома

$$\mathbf{p}_{at} = \sum_{i=1}^Z \mathbf{p}_{li} + \sum_{i=1}^Z \mathbf{p}_{si} + \sum_{i=1}^Z \mathbf{p}_{ni}. \quad (4)$$

Магнитный момент молекулы

$$\mathbf{p}_{\text{мол}} = \sum_{k=1}^N \mathbf{p}_{atk},$$

где N – число атомов в молекуле.

Намагниченность \mathbf{J} равна магнитному моменту единицы объема магнетика

$$\mathbf{J} = \frac{\sum \mathbf{p}_{\text{мол}}}{\Delta V}, \quad (5)$$

где ΔV – малый объем магнетика; $\sum \mathbf{p}_{\text{мол}}$ – сумма магнитных моментов всех молекул в объеме ΔV .

Намагниченность \mathbf{J} связана с напряженностью магнитного поля

$$\mathbf{J} = \chi \mathbf{H}, \quad (6)$$

где χ – коэффициент пропорциональности, называемый *магнитной восприимчивостью* вещества.

Магнитные свойства вещества характеризуются также *магнитной проницаемостью* μ . Величины χ и μ связаны соотношением

$$\mu = 1 + \chi. \quad (7)$$

В зависимости от знака и величины магнитной восприимчивости все вещества делятся на три группы.

1. Диамагнетики – вещества (например, инертные газы), у которых при отсутствии внешнего магнитного поля орбитальные \mathbf{p}_l и спиновые \mathbf{p}_s моменты атомов или молекул скомпенсированы.

Во внешнем магнитном поле в результате прецессии появляются индуцированные магнитные моменты

$$\mathbf{p}_{at} = \sum \mathbf{p}_n,$$

направленные против поля \mathbf{B} , а магнитная восприимчивость отрицательна $\chi = -(10^{-6}-10^{-8})$.

2. Парамагнетики – вещества, у которых при отсутствии внешнего поля $\mathbf{p}_{at} \neq 0$ или $\mathbf{p}_{мол} \neq 0$, а $\mathbf{J} = 0$ вследствие хаотической ориентации магнитных моментов \mathbf{p}_{at} или $\mathbf{p}_{мол}$.

Во внешнем магнитном поле \mathbf{B} под действием вращающего момента сил магнитные моменты (\mathbf{p}_{at} и $\mathbf{p}_{мол}$) вещества стремятся повернуться в направлении поля, в результате чего $J > 0$ и $\chi > 0$, $\chi = (10^{-4}-10^{-6})$.

3. Ферромагнетики – это кристаллические вещества, у которых магнитные моменты отдельных ионов $\mathbf{p}_u \neq 0$. У ферритов элементарную ячейку кристалла образуют ионы различного типа, у ферромагнетиков – одного типа. Как показали опыты Эйнштейна и Гааза, а также опыты Н. Ф. Иоффе и П. Л. Капицы, магнитный момент иона ферромагнетика обусловлен упорядоченной ориентацией спиновых магнитных моментов.

Часть ферромагнетика, в которой все магнитные моменты при отсутствии внешнего поля устанавливаются в одном направлении за счет обменного взаимодействия, называется *доменом* (рис. 3, а). Домен обладает магнитным моментом \mathbf{p}_d . Размеры доменов составляют $(10^{-6}-10^{-8})$ м.

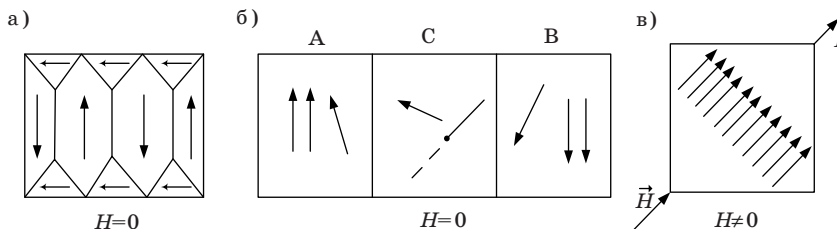


Рис. 3

Между доменами A и B имеются переходные слои C (рис. 3, б) шириной $(10^{-8}-10^{-9})$ м. Внутри переходного слоя магнитные спи-

vk.com/id446425943

vk.com/club152685050

новые моменты ионов поворачиваются до тех пор, пока не примут нужного направления.

При отсутствии внешнего магнитного поля магнитный момент ферромагнетика

$$\mathbf{p} = \sum \mathbf{p}_d = 0.$$

Во внешнем магнитном поле переходные слои разрушаются, магнитные моменты отдельных доменов поворачиваются в направлении магнитного поля (рис. 3, в).

Зависимость намагниченности J магнетиков от напряженности H внешнего магнитного поля изображена на рис. 4. Кривая $J(H)$ носит название *основной кривой намагничивания*.

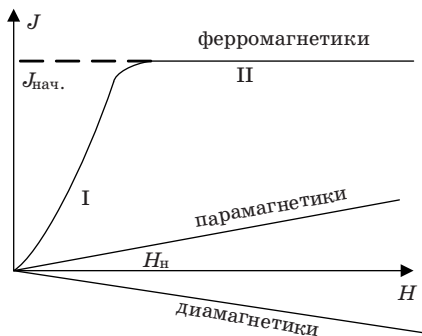


Рис. 4

Нелинейная область I отражает процесс ориентации доменов в ферромагнетиках в направлении внешнего поля при возрастании напряженности H . В сильных полях (область II) наступает магнитное насыщение, и намагниченность практически не зависит от напряженности поля H .

Для пара- и диамагнетиков зависимость $J(H)$ – линейная.

У ферромагнетиков и ферритов имеет место *магнитный гистерезис*, в котором проявляется зависимость намагниченности от предшествующего состояния. При циклических изменениях величины и направления напряженности внешнего поля H эта зависимость характеризуется кривой, называемой *петлей гистерезиса* (рис. 5, кривые 1, 2).

Если ферромагнетик был первоначально размагничен ($B = 0$, $H = 0$), то его намагничивание происходит по *основной кривой намагничивания ОА*.

vk.com/id446425943

vk.com/club152685050

В точке A напряженность H_n и индукция B_n соответствуют состоянию *магнитного насыщения*.

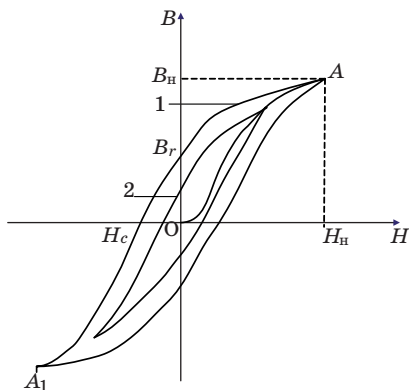


Рис. 5

Размагничивание происходит по кривой 1 ($A-B_r-H_c-A_1$). При $H = 0$ намагниченность ферромагнетика не исчезает $B = B_r$. Это состояние называется *остаточным магнетизмом*.

Напряженность ($-H_c$), при которой исчезает остаточная намагниченность ($B = 0$, $H = -H_c$), принято называть *коэрцитивной силой*.

Если при циклическом намагничивании $H_{\max} \geq H_n$, то мы получаем максимальную петлю гистерезиса 1. Кривая 2 — это частный цикл, когда $H_{\max} < H_n$. Максимумы B и H частных циклов лежат на основной кривой намагничивания OA .

Условно принято считать ферромагнетики *жесткими*, если $H_c \geq 100$ А/м. Если $H_c < 100$ А/м, ферромагнетики считаются *мягкими*.

Магнитная проницаемость μ ферромагнетика зависит от напряженности магнитного поля H (рис. 6). Магнитная проницаемость $\mu = B/\mu_0 H$ достигает максимума, когда напряженность H внешнего поля становится равной напряженности H_n . При этом домены максимально ориентируются по направлению поля (рис. 3, в) и достигается магнитное насыщение образца.

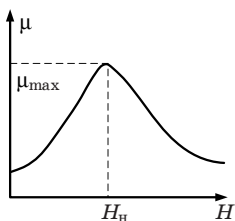


Рис. 6

vk.com/id446425943
vk.com/club152685050

В табл. 1 приведены характеристики некоторых ферромагнетиков и ферритов.

Таблица 1

Вещество	μ_{\max}	H_n , А/м	B_r , Тл	B_n , Тл
Железо техническое	5000	80	0,06	2,1
Супермаллой	1000000	0,16	–	0,79
Сталь кобальтовая	–	2000	0,9	1,6
Феррит никель-цинковый	7500	4	–	0,2

Приборы и оборудование

Принципиальная схема установки приведена на рис. 7.

Исследуемый образец выполнен в виде тороидального трансформатора T , первичная обмотка которого содержит N_1 витков, а вторичная – N_2 витков.

Вторичная обмотка трансформатора последовательно соединена с конденсатором C через сопротивление R_2 .

С выхода звукового генератора PQ через сопротивление R_1 подается напряжение на первичную обмотку трансформатора T .

С сопротивления R_1 на вход X горизонтального отклонения осциллографа PO подается напряжение U_x , пропорциональное напряженности магнитного поля H .

С конденсатора C на вертикальный вход Y подается напряжение U_y , пропорциональное индукции магнитного поля B .

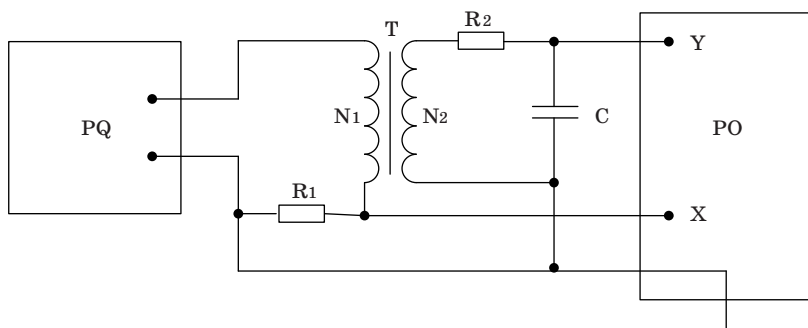


Рис. 7

На рисунке: PQ – звуковой генератор; PO – электронный осциллограф; T – тороидальный трансформатор ($N_1 = 100$ витков,

vk.com/id446425943

vk.com/club152685050

$N_2 = 100$ витков, $r_1 = 4,5\text{мм}$, $r_2 = 9\text{мм}$, $b = 10\text{мм}$; $R_1 = 51 \text{ Ом}$;
 $R_2 = 4,3 \text{ кОм}$; $C = 0,224 \text{ мкФ}$

Метод измерений

При радиусе витка обмотки $r_B \ll r_T$ радиуса тороида напряженность H в тороиде

$$H = \frac{N_1}{2\pi r_T} I_1, \quad (8)$$

где $r_T = (r_1 + r_2)/2$; r_1 и r_2 – внутренний и внешний радиусы тороида.

Так как падение напряжения на сопротивлении R_1 равно $U_x = I_1 R_1$, то с учетом (8)

$$U_x = \frac{2\pi r_T R_1 H}{N_1}. \quad (9)$$

U_x определяется по коэффициенту k_x отклонения электронного луча по горизонтальной оси

$$U_x = k_x x. \quad (10)$$

С учетом (9) и (10) выражение для H может быть записано в виде

$$H = \frac{N_1 k_x x}{2\pi r_T R_1} = \alpha k_x x. \quad (11)$$

По закону Фарадея ЭДС индукции во вторичной обмотке

$$\varepsilon_i = -N_2 \frac{d\Phi}{dt} = -N_2 \frac{dB}{dt} S_2, \quad (12)$$

где Φ – поток вектора магнитной индукции через один виток; S_2 – площадь поперечного сечения тороида, $S_2 = (r_2 - r_1)b$; b – высота тороида.

По закону Ома для вторичной обмотки получаем

$$\varepsilon_i = U_c + I_2 R_2 + L_2 \frac{dI_2}{dt}, \quad (13)$$

где U_c – напряженность на конденсаторе; I_2 – ток во вторичной обмотке; L_2 – индуктивность вторичной обмотки.

Так как L_2 очень мала, а $I_2 R_2 \gg U_c$, уравнение (13) может быть записано с учетом (12) в следующем виде:

$$-N_2 \frac{dB}{dt} S_2 = I_2 R_2.$$

Отсюда

$$I_2 = -\frac{N_2 S_2}{R_2} \frac{dB}{dt}. \quad (14)$$

Учитывая (14), найдем напряжение U_y , равное напряжению на конденсаторе:

$$U_y = \frac{Q}{C} = \frac{\int_0^t I_2 dt}{C} = -\frac{N_2 S_2}{R_2 C} \int_0^B dB = -\frac{N_2 S_2 B}{R_2 C}, \quad (15)$$

где Q – заряд на обкладках конденсатора.

Если известен коэффициент отклонения луча k_y по вертикали, то

$$U_y = k_y y. \quad (16)$$

Из выражений (15) и (16) получаем

$$B = \frac{R_2 C k_y y}{N_2 S_2} = \beta k_y y. \quad (17)$$

Подав одновременно напряжение U_y и U_x на вертикально и горизонтально отклоняющие пластины, получим на экране осциллографа петлю гистерезиса.

По площади петли можно найти работу перемagnetизирования, отнесенную к единице объема. Малое изменение объемной плотности энергии магнитного поля

$$w_H = \frac{\mu \mu_0 H^2}{2}$$

в цикле перемagnetизирования определяется по формуле

$$dw_H = Hd(\mu \mu_0 H) = HdB. \quad (18)$$

vk.com/id446425943

vk.com/club152685050

Работа dA_n расходуется на изменение внутренней энергии в единице объема ферромагнетика. За полный цикл перемагничивания

$$dA_n = \oint H dB. \quad (19)$$

Учитывая (11) и (17), получаем работу перемагничивания за один цикл

$$A_n = \frac{N_1 k_x R_2 C k_y}{2\pi r_1 R_1 N_2 S_2} S_n, \quad (20)$$

где S_n – площадь петли гистерезиса.

Порядок выполнения работы

Ознакомиться с работой звукового генератора и электронного осциллографа в режиме измерения фигур Лиссажу.

Задание 1. Определение основной кривой намагничивания.

1. Установить и соединить приборы в соответствии со схемой на рис. 7.

Установить параметры выходного сигнала звукового генератора:

– частота 2 кГц;

– выходное напряжение 0 В.

Отключить развертку на осциллографе.

2. Включить лабораторный стенд и приборы. Установить луч в центре экрана осциллографа.

Регулируя величину выходного напряжения на звуковом генераторе и усиление по оси y , установить максимальную петлю гистерезиса в пределах экрана, соответствующую магнитному насыщению образца.

Уменьшая величину выходного напряжения, получить семейство петель гистерезиса (не менее 5 петель).

Для каждой петли снять координаты x и y ее вершины и записать их в табл. 2.

3. По формулам (11) и (17) вычислить значения напряженности H и индукции B вершин каждой петли гистерезиса и записать их в табл. 2.

Оценить погрешности измерения H и B , которые определяют приборными погрешностями коэффициентов отклонения электронного луча k_x , k_y и погрешностями визуального отсчета вели-

чин x и y на экране осциллографа ($\Delta k_x = \pm 0,07k_x$, $\Delta k_y = \pm 0,07k_y$, $\Delta x = \Delta y = 0,5\text{мм}$).

Значения $\pm\Delta H$ и $\pm\Delta B$ наносятся на кривую $B(H)$, а также записываются в табл. 2.

Таблица 2

№ петли	x , мм	y , мм	U_x , В	U_y , В	H , А/м	$\frac{\Delta H}{A/M}$	B , Тл	ΔB , Тл

Задание 2. Оценка работы перемagnичивания A_n за один цикл.

Получить максимальную петлю гистерезиса и зарисовать на кальке в координатах $x-y$.

Скопировать эту петлю на миллиметровую бумагу и измерить ее площадь.

Определить работу перемagnичивания за один цикл по формуле (20).

Задание 3. Определение коэрцитивной силы.

По максимальной петле гистерезиса найти координату x_c , соответствующую коэрцитивной силе H_c (рис. 5).

По формуле (11) рассчитать H_c .

По полученному значению определить группу ферромагнетика (мягкий или жесткий).

Оценить погрешность измерения коэрцитивной силы.

Контрольные вопросы

1. Как ведет себя контур с током в магнитном поле?
2. Каковы свойства парамагнетиков, диамагнетиков, ферромагнетиков?
3. Какова причина спонтанной намагниченности доменов в ферромагнетиках?
4. Как ведут себя домены при увеличении напряженности магнитного поля? Что означает насыщение ферромагнетиков?
5. В чем заключается явление магнитного гистерезиса?

vk.com/id446425943

vk.com/club152685050